

Определение элементов тензора теплопроводности анизотропных материалов из решения обратной задачи

О.М.Алифанов, В.А.Колесников

Аннотация: Излагается и обосновывается алгоритм определения температурных зависимостей объемной теплоемкости и элементов тензора теплопроводности анизотропных в отношении тепловой проводимости материалов, применяемых в авиационной и ракетно-космической технике. Эффективность разработанного алгоритма демонстрируется на примере решения задачи по данным вычислительного эксперимента.

Ключевые слова: конструкционные материалы, авиационная и ракетно-космическая техника, теплофизические характеристики, тензор теплопроводности анизотропных материалов, обратные задачи теплообмена.

Для проведения тепловых, теплопрочностных расчетов, и вообще при решении различных научных и инженерных задач, в частности задач теплового проектирования объектов и систем новой техники, например ракетно-космической, необходимо иметь данные о теплофизических характеристиках используемых или предполагаемых к использованию материалов с учетом зависимости этих характеристик от температуры, направления и особенностей протекающих в материалах и конструкциях физических или физико-химических процессов. Под теплофизическими характеристиками здесь понимаются компоненты тензора теплопроводности материалов и их объемная теплоемкость.

Анализируя известные работы по вопросам определения теплофизических характеристик материалов методами, основанными на использовании математического аппарата решения обратных задач теплопроводности, можно сделать следующие выводы:

1) Задачу определения теплофизических характеристик материалов целесообразно решать в экстремальной постановке с применением одного из регуляризирующих алгоритмов, который дает минимизирующую последовательность для функционала невязки J , характеризующего среднеквадратичное отклонение вычисленных с помощью математической

модели температур в каких-то определенных n точках образца материала от измеряемых в эксперименте их значений $f(x_i, y_i, \tau)$.

2) Не существует обоснованных работоспособных алгоритмов решения задачи определения элементов тензора теплопроводности анизотропных материалов.

В связи этим в данной статье излагается методический подход и алгоритм решения задачи определения температурных зависимостей элементов тензора теплопроводности анизотропных материалов и их объемной теплоемкости и попутно доводится до логического завершения известное решение коэффициентной обратной задачи для одномерной тепловой проводимости. При этом реализуется известный принцип решения коэффициентных обратных задач, заключающийся в последовательном уточнении параметров искомых функций в направлении, обеспечивающем получение минимизирующей последовательности для функционала невязки J . Но реализация этого принципа базируется на новом подходе к определению градиента минимизируемого функционала и оценке оптимальной глубины спуска.

Рассмотрим процесс нестационарного теплообмена в прямоугольной области анизотропного в отношении теплопроводности материала. Если в условиях однозначности решения в качестве граничных условий рассматривать условия первого рода, то математическая модель этого процесса имеет вид следующей краевой задачи:

$$C(T) \frac{\partial T}{\partial \tau} = \frac{\partial}{\partial x} (\lambda_{11}(T) \frac{\partial T}{\partial x}) + \frac{\partial}{\partial y} (\lambda_{22}(T) \frac{\partial T}{\partial y}) + 2 \frac{\partial}{\partial x} (\lambda_{12}(T) \frac{\partial T}{\partial y}) + S(x, y, \tau), \quad (1)$$

$$x \in [0; a]; y \in [0; b]; \tau \in [0; \tau_m]$$

$$T(x, y, 0) = \varphi_0(x, y), \quad (2)$$

$$T(x_\Gamma, y_\Gamma, \tau) = \varphi_\Gamma(x_\Gamma, y_\Gamma, \tau), \quad x_\Gamma = \{0; a\}, \quad y_\Gamma = \{0; b\}, \quad \tau \in [0, \tau_m], \quad (3)$$

где $\varphi_0(x, y)$ и $\varphi_\Gamma(x_\Gamma, y_\Gamma, \tau)$ - известные функции.

Рассмотрим задачу восстановления функций $\lambda_{11}(T)$, $\lambda_{22}(T)$, $\lambda_{12}(T)$ и $C(T)$ на основании информации о мгновенных значениях температур в определенных n точках прямоугольной области $D = [0; a] \times [0; b]$ ($T(x_i, y_i, \tau) = f(x_i, y_i, \tau)$, $i = 1, 2, \dots, n$) и известных функциях $S(x, y, \tau)$, $\varphi_0(x, y)$, $\varphi_\Gamma(x_\Gamma, y_\Gamma, \tau)$.

Подлежащие определению функции $\lambda_{11}(T)$, $\lambda_{22}(T)$, $\lambda_{12}(T)$ и $C(T)$ будем искать в

параметризованном виде: $\lambda_{11}(T) = \sum_{k=1}^{m+3} \lambda_{11}^{(k)} B_k(T)$, $\lambda_{22}(T) = \sum_{k=1}^{m+3} \lambda_{22}^{(k)} B_k(T)$, $\lambda_{12}(T) = \sum_{k=1}^{m+3} \lambda_{12}^{(k)} B_k(T)$,

$$C(T) = \sum_{k=1}^{m+3} C^{(k)} B_k(T), \text{ где } B_k(T) - \text{ последовательность кубических } B\text{-сплайнов; } T \in [T_{\min}, T_{\max}]$$

; m – число участков разбиения области определения искомых функций при осуществлении их сплайн-аппроксимации; $\vec{\lambda}_{11} = (\lambda_{11}^{(k)}, k = 1, 2, \dots, (m+3))$, $\vec{\lambda}_{22} = (\lambda_{22}^{(k)}, k = 1, 2, \dots, (m+3))$, $\vec{\lambda}_{12} = (\lambda_{12}^{(k)}, k = 1, 2, \dots, (m+3))$, $\vec{C} = (C^{(k)}, k = 1, 2, \dots, (m+3))$ – векторы значений параметров сплайн-функций, аппроксимирующих искомые функции. Будем последовательно уточнять решение, определяя поправки к векторам параметров аппроксимирующих сплайн-функций из условия убывания функционала J , который имеет вид

$$J = \frac{1}{2} \sum_{i=1}^n \int_0^{\tau_m} (T(x_i, y_i, \tau) - f(x_i, y_i, \tau))^2 d\tau \quad (4)$$

В рассмотренной постановке, строго говоря, решение обратной задачи может быть неединственным. Выход из этой ситуации (если невозможно изменить эту постановку, например из-за трудностей экспериментального характера) видится в учете подходящей априорной информации об искомых величинах, в частности, о качественном характере их изменения на интересующем температурном интервале. В дальнейшем будем считать, что искомые величины являются достаточно регулярными функциями, не обладающими чрезмерно тонкой структурой. Тогда возможен переход к малопараметрическому представлению этих функций. В принятой выше сплайновой форме задания искомых величин мы будем ограничиваться малым числом m участков аппроксимации, в то же время число точек n , где заданы временные зависимости температур, будет достаточно большим. Но в любом случае, поскольку строгие условия однозначности нам не известны, целесообразно провести численную проверку на выполнение этих условий, отдавая себе отчет, конечно, в ограниченности такого подхода. Применительно к данной работе такая проверка будет выполнена при решении методических примеров.

В качестве численного метода минимизации функционала применим метод сопряженных градиентов, алгоритм реализации которого применительно, например, к обобщенному вектору $\vec{\lambda} = (\lambda_{11}^{(k)}, \lambda_{22}^{(k)}, \lambda_{12}^{(k)}, C^{(k)}, k = 1, 2, \dots, (m+3))$ имеет вид [1]: $\vec{\lambda}^j = \vec{\lambda}^{j-1} + \Delta \vec{\lambda}^j$, $\Delta \vec{\lambda}^j = -\xi \cdot \vec{P}(\vec{\lambda}^j)$, $\vec{P}(\vec{\lambda}^j) = J'(\vec{\lambda}^j) + \gamma_j \cdot \vec{P}(\vec{\lambda}^{j-1})$, где j – номер итерации, $\vec{\lambda}^j$ – значение вектора $\vec{\lambda}$ на j -ой итерации, $J'(\vec{\lambda}^j)$ – значение градиента функционала на j -ой итерации, $j-1$ – индекс, относящийся к предыдущей итерации, $\vec{P}(\vec{\lambda}^j), \xi$ – соответственно направление

и глубина спуска на j -ой итерации, $\gamma_j = \frac{J'(\bar{\lambda}^j) \cdot (J'(\bar{\lambda}^j) - J'(\bar{\lambda}^{j-1}))}{(J'(\bar{\lambda}^j))^2}$, $j \geq 1$, при $j=0$ $\gamma_j = 0$.

Учитывая возможное существенное отличие друг от друга модулей векторов $\bar{\lambda}_{11}, \bar{\lambda}_{22}, \bar{\lambda}_{12}$ и разительное отличие этих векторов от вектора \bar{C} (в десятки-сотни тысяч раз), итерационный процесс по уточнению приближений этих векторов должен осуществляться для каждого вектора отдельно, например, поочередно.

При реализации градиентных методов минимизации целевого функционала самыми важными моментами в этой реализации является вычисление градиента функционала J перед каждым уточнением вектора параметров (на каждой итерации) и определение глубины (шага) спуска в направлении вектора \bar{P} , зависящем от значений градиента на данной и предыдущей итерациях.

Для получения формулы градиента функционала J будем решать задачу минимизации функционала невязки как задачу на условный экстремум методом множителей Лагранжа при ограничениях, определяемых условиями (1) - (3) [3].

Составим функционал Φ Лагранжа.

$$\begin{aligned} \Phi = & \frac{1}{2} \sum_{i=1}^n \int_0^{\tau_m} (T(x_i, y_i, \tau) - f(x_i, y_i, \tau))^2 d\tau + \\ & + \sum_{i=1}^n \int_0^{\tau_m} \psi(x_i, y_i, \tau) \left[\frac{\partial}{\partial x} (\lambda_{11}(T) \frac{\partial T}{\partial x})_{x=x_i, y=y_i} + \frac{\partial}{\partial y} (\lambda_{22}(T) \frac{\partial T}{\partial y})_{x=x_i, y=y_i} + 2 \frac{\partial}{\partial x} (\lambda_{12}(T) \frac{\partial T}{\partial y})_{x=x_i, y=y_i} + \right. \\ & \left. + S(x_i, y_i, \tau) - (C(T) \frac{\partial T}{\partial \tau})_{x=x_i, y=y_i} \right] d\tau + \sum_{i=1}^n \gamma(x_i, y_i) [T(x_i, y_i, 0) - T_0(x_i, y_i)] \end{aligned} \quad (5)$$

Дадим векторам значений параметров искомым функциям малые возмущения. Причем такие, чтобы относительные величины возмущений каждой координаты всех векторов были бы одинаковыми. То есть возмущения должны удовлетворять условию : $\Delta \bar{\lambda}_{11}^{(k)} = \Delta \bar{\lambda}_{22}^{(k)} = \Delta \bar{\lambda}_{12}^{(k)} = \Delta \bar{C}^{(k)}$, $k = 1, 2, \dots, m+3$. При выполнении этого условия удается, как показано ниже, получить явное выражение для множителя Лагранжа (функции $\psi(x_i, y_i, \tau)$).

Обозначим одинаковые относительные величины приращений параметров через $\bar{\Delta}$. Функции $\lambda_{11}(T)$, $\lambda_{22}(T)$, $\lambda_{12}(T)$, $C(T)$ получают некоторые вариации $\Delta \lambda_{11}$, $\Delta \lambda_{22}$, $\Delta \lambda_{12}$, ΔC соответственно. Тогда температурное поле $T(x, y, \tau)$ также получит возмущение и изменится на величину $\theta(x, y, \tau)$.

Вариации искоемых функций определяются одинаковыми по структуре соотношениями, которые для функции $\lambda_{11}(T)$ имеют вид $\Delta\lambda_{11} = \tilde{\lambda}_{11}(T + \theta) - \lambda_{11}(T)$, где $\tilde{\lambda}_{11}(T + \theta)$ - возмущенное значение функции $\lambda_{11}(T)$ в какой-то точке. Возмущение является следствием приращения параметров этой функции и приращения температуры в рассматриваемой точке.

То есть $\tilde{\lambda}_{11}(T + \theta) = \sum_{k=1}^{m+3} (\lambda_{11}^{(k)} + \Delta\lambda_{11}^{(k)}) B_k(T + \theta)$. Характеризуя приращение функции $B_k(T)$ ее

дифференциалом в точке T ($B_k(T + \theta) \approx B_k(T) + \frac{dB_k(T)}{dT} \theta$), получим следующее выражение

для возмущенного значения функции $\lambda_{11}(T)$:

$$\tilde{\lambda}_{11}(T + \theta) = (1 + \bar{\Delta}) \cdot \sum_{k=1}^{m+3} (\lambda_{11}^{(k)} B_k(T) + \lambda_{11}^{(k)} \frac{dB_k(T)}{dT} \theta) = (1 + \bar{\Delta}) \cdot (\lambda_{11}(T) + \frac{d\lambda_{11}(T)}{dT} \theta)$$

Тогда первое слагаемое в правой части уравнения теплопроводности (1) при возмущенных значениях параметров искоемых функций примет вид

$$\frac{\partial}{\partial x} (\tilde{\lambda}_{11}(T + \theta) \frac{\partial(T + \theta)}{\partial x}) = (1 + \bar{\Delta}) \cdot \left[\frac{\partial}{\partial x} (\lambda_{11}(T) \frac{\partial T}{\partial x}) + \frac{\partial}{\partial x} (\lambda_{11}(T) \frac{\partial \theta}{\partial x}) + \frac{\partial}{\partial x} \left(\frac{d\lambda_{11}(T)}{dT} \frac{\partial T}{\partial x} \theta \right) + \frac{\partial}{\partial x} \left(\frac{d\lambda_{11}(T)}{dT} \frac{\partial \theta}{\partial x} \theta \right) \right].$$

Такой же вид примет второе слагаемое и почти такой же вид третье слагаемое правой части уравнения (1). Слагаемое, стоящее в левой части уравнения (1) при возмущенных параметрах запишется следующим образом:

$$\tilde{C}(T + \theta) \frac{\partial(T + \theta)}{\partial \tau} = \sum_{k=1}^{m+3} ((C^{(k)} + \Delta C^{(k)}) B_k(T + \theta) \frac{\partial(T + \theta)}{\partial \tau}) = (1 + \bar{\Delta}) \cdot \left[C(T) \frac{\partial T}{\partial \tau} + C(T) \frac{\partial \theta}{\partial \tau} + \frac{dC(T)}{dT} \frac{\partial T}{\partial \tau} \theta + \frac{dC(T)}{dT} \frac{\partial \theta}{\partial \tau} \theta \right]$$

Вычтя из уравнения теплопроводности, записанного для возмущенных параметров искоемых функций, невозмущенное уравнение теплопроводности, получим уравнение, определяющее совместно с уравнениями (1) - (3) поле приращений температур при возмущении параметров искоемых функций на относительную величину $\bar{\Delta}$:

$$C(T) \frac{\partial \theta}{\partial \tau} + \frac{dC(T)}{dT} \left(\frac{\partial T}{\partial \tau} + \frac{\partial \theta}{\partial \tau} \right) \theta = \frac{\partial}{\partial x} (\lambda_{11}(T) \frac{\partial \theta}{\partial x}) + \frac{\partial}{\partial x} \left(\theta \frac{d\lambda_{11}(T)}{dT} \left(\frac{\partial T}{\partial x} + \frac{\partial \theta}{\partial x} \right) \right) + \frac{\partial}{\partial y} (\lambda_{22}(T) \frac{\partial \theta}{\partial y}) + \frac{\partial}{\partial y} \left(\theta \frac{d\lambda_{22}(T)}{dT} \left(\frac{\partial T}{\partial y} + \frac{\partial \theta}{\partial y} \right) \right) + 2 \frac{\partial}{\partial x} (\lambda_{12}(T) \frac{\partial \theta}{\partial y}) + 2 \frac{\partial}{\partial x} \left(\theta \frac{d\lambda_{12}(T)}{dT} \left(\frac{\partial T}{\partial y} + \frac{\partial \theta}{\partial y} \right) \right) - \frac{\bar{\Delta}}{1 + \bar{\Delta}} S(x, y, \tau);$$

$$\theta(x, y, 0) = 0; \theta(x_{\Gamma}, y_{\Gamma}, \tau) = 0, \text{ где } x_{\Gamma} = \{0; a\}, y_{\Gamma} = \{0; b\}, \tau \in [0; \tau_m] \quad (6)$$

При возмущении параметров искомым функций обобщенный функционал (функционал Лагранжа) получит вариацию $\Delta\Phi$. Ограничиваясь линейной частью приращения целевого функционала J , можно эту вариацию записать в виде

$$\begin{aligned} \Delta\Phi = & \sum_{i=1}^n \int_0^{\tau_m} (T(x_i, y_i, \tau) - f(x_i, y_i, \tau)) \cdot \theta(x_i, y_i, \tau) \cdot d\tau + \\ & + \sum_{i=1}^n \int_0^{\tau_m} \psi(x_i, y_i, \tau) \cdot \left\{ \left[\frac{\partial}{\partial x} (\lambda_{11}(T) \frac{\partial T}{\partial x}) + \frac{\partial}{\partial x} (\theta \cdot \frac{d\lambda_{11}(T)}{dT} (\frac{\partial T}{\partial x} + \frac{\partial \theta}{\partial x})) + \frac{\partial}{\partial y} (\lambda_{22}(T) \frac{\partial T}{\partial y}) + \right. \right. \\ & + \frac{\partial}{\partial y} (\theta \cdot \frac{d\lambda_{22}(T)}{dT} (\frac{\partial T}{\partial y} + \frac{\partial \theta}{\partial y})) + 2 \frac{\partial}{\partial x} (\lambda_{12}(T) \frac{\partial T}{\partial y}) + 2 \frac{\partial}{\partial x} (\theta \cdot \frac{d\lambda_{12}(T)}{dT} (\frac{\partial T}{\partial y} + \frac{\partial \theta}{\partial y})) - \\ & \left. \left. - (C(T) \frac{\partial \theta}{\partial \tau} + \frac{dC(T)}{d\tau} \cdot \theta \cdot (\frac{\partial T}{\partial \tau} + \frac{\partial \theta}{\partial \tau})) \right]_{x=x_i, y=y_i} - \frac{\bar{\Delta}}{1 + \bar{\Delta}} \cdot S(x_i, y_i, \tau) \right\} d\tau \quad (7) \end{aligned}$$

Заметим, что все входящие в выражение (7) переменные и их производные вычисляются в точках $i=1, 2, \dots, n$.

Необходимым условием достижения функционалом J минимума при ограничениях (1) - (3) является равенство 0 полной вариации функционала Φ ($\Delta\Phi = 0$). Приравняв правую часть соотношения (7) к 0 и разрешая полученное уравнение относительно $\psi(x_i, y_i, \tau)$, можно найти формулу для определения множителя Лагранжа. Эта формула имеет громоздкий вид, но ее можно преобразовать, если принять во внимание то, что в силу ожидаемой гладкости искомым функций, а также благодаря малости θ при малых $\bar{\Delta}$ выражение для $\psi(x_i, y_i, \tau)$ можно существенно упростить, если пренебречь в этом выражении членами, содержащими произведение θ на производные искомым функций по температуре. В итоге получим следующее выражение для множителя Лагранжа $\psi(x_i, y_i, \tau)$

$$\psi(x_i, y_i, \tau) = \frac{[f(x_i, y_i, \tau) - T(x_i, y_i, \tau)] \cdot \theta(x_i, y_i, \tau)}{\left[\frac{\partial}{\partial x} (\lambda_{11}(T) \frac{\partial \theta}{\partial x}) + \frac{\partial}{\partial y} (\lambda_{22}(T) \frac{\partial \theta}{\partial y}) + 2 \frac{\partial}{\partial x} (\lambda_{12}(T) \frac{\partial \theta}{\partial y}) - C(T) \frac{\partial \theta}{\partial \tau} - \bar{\Delta} \cdot S(x, y, \tau) \right]}, \quad (8)$$

где $x = x_i, y = y_i$ (то есть все производные и функции $\lambda_{11}, \lambda_{22}, \lambda_{12}, C$ и S вычисляются в точках (x_i, y_i, τ)).

Входящие в выражение (8) значения $\theta(x_i, y_i, \tau)$ и значения их производных определяются в процессе решения задачи о расчете поля приращений температур при возмущении параметров искомым функций.

Для получения формулы градиента целевой функции преобразуем выражение для $\Delta\Phi$.
 Линейную часть приращения целевого функционала, то есть выражение

$$\sum_{i=1}^n \int_0^{\tau_i} (T(x_i, y_i, \tau) - f(x_i, y_i, \tau)) \cdot \theta(x_i, y_i, \tau) \cdot d\tau \quad \text{представим} \quad \text{в} \quad \text{виде}$$

$$\sum_{k=1}^{m+3} J'(\lambda_{11}^{(k)}) \cdot \Delta\lambda_{11}^{(k)} + \sum_{k=1}^{m+3} J'(\lambda_{22}^{(k)}) \cdot \Delta\lambda_{22}^{(k)} + \sum_{k=1}^{m+3} J'(\lambda_{12}^{(k)}) \cdot \Delta\lambda_{12}^{(k)} + \sum_{k=1}^{m+3} J'(C^{(k)}) \cdot \Delta C^{(k)}, \quad \text{который}$$

соответствует трактовке градиента функционала в данном конкретном случае (в данной задаче).

Второе слагаемое в выражении для $\Delta\Phi$ представим несколько иначе, чем в соотношении (7).

Для этого воспользуемся приведенными выше выражениями для возмущенных значений искомых функций, то есть выражениями для $\tilde{\lambda}_{11}(T + \theta)$, $\tilde{\lambda}_{22}(T + \theta)$, $\tilde{\lambda}_{12}(T + \theta)$, $\tilde{C}(T + \theta)$.

После несложных преобразований выражение для $\Delta\Phi$ примет вид:

$$\begin{aligned} \Delta\Phi = & \sum_{k=1}^{m+3} (J'(\lambda_{11}^{(k)}) \cdot \Delta\lambda_{11}^{(k)} + J'(\lambda_{22}^{(k)}) \cdot \Delta\lambda_{22}^{(k)} + J'(\lambda_{12}^{(k)}) \cdot \Delta\lambda_{12}^{(k)} + J'(C^{(k)}) \cdot \Delta C^{(k)}) + \\ & \sum_{i=1}^n \int_0^{\tau_m} \psi(x_i, y_i, \tau) \cdot \left\{ \frac{\partial}{\partial x} (\lambda_{11}(T)) \frac{\partial \theta}{\partial x} + \frac{\partial}{\partial y} (\lambda_{22}(T)) \frac{\partial \theta}{\partial y} + 2 \frac{\partial}{\partial x} (\lambda_{12}(T)) \frac{\partial \theta}{\partial y} + \right. \\ & \theta \cdot \left[\frac{d\lambda_{11}}{dT} \frac{\partial^2 T}{\partial x^2} + \frac{d^2 \lambda_{11}}{dT^2} \left(\frac{\partial T}{\partial x} \right)^2 + \frac{d\lambda_{22}}{dT} \frac{\partial^2 T}{\partial y^2} + \frac{d^2 \lambda_{22}}{dT^2} \left(\frac{\partial T}{\partial y} \right)^2 + 2 \frac{d\lambda_{12}}{dT} \frac{\partial^2 T}{\partial x \partial y} + 2 \frac{d^2 T}{dT^2} \frac{\partial T}{\partial x} \frac{\partial T}{\partial y} - \right. \\ & \left. \left. \frac{dC}{dT} \frac{\partial \theta}{\partial \tau} \right] + \frac{d\lambda_{11}}{dT} \frac{\partial T}{\partial x} \frac{\partial \theta}{\partial x} + \frac{d\lambda_{22}}{dT} \frac{\partial T}{\partial y} \frac{\partial \theta}{\partial y} + 2 \frac{d\lambda_{12}}{dT} \frac{\partial T}{\partial y} \frac{\partial \theta}{\partial x} - C(T) \frac{\partial \theta}{\partial \tau} \right\} \cdot d\tau + \\ & \sum_{k=1}^{m+3} \Delta\lambda_{11}^{(k)} \cdot \left(\sum_{i=1}^n \int_0^{\tau_m} \psi(x_i, y_i, \tau) \cdot \left[\frac{\partial^2 T}{\partial x^2} B_k(T) + \left(\frac{\partial T}{\partial x} \right)^2 \frac{dB_k}{dT} \right] d\tau \right) + \\ & \sum_{k=1}^{m+3} \Delta\lambda_{22}^{(k)} \cdot \left(\sum_{i=1}^n \int_0^{\tau_m} \psi(x_i, y_i, \tau) \cdot \left[\frac{\partial^2 T}{\partial y^2} B_k(T) + \left(\frac{\partial T}{\partial y} \right)^2 \frac{dB_k}{dT} \right] d\tau \right) + \\ & 2 \cdot \sum_{k=1}^{m+3} \Delta\lambda_{12}^{(k)} \cdot \left(\sum_{i=1}^n \int_0^{\tau_m} \psi(x_i, y_i, \tau) \cdot \left[\frac{\partial^2 T}{\partial x \partial y} B_k(T) + \frac{\partial T}{\partial x} \frac{\partial T}{\partial y} \frac{dB_k(T)}{dT} \right] d\tau \right) + \\ & \sum_{k=1}^{m+3} \Delta C^{(k)} \cdot \left(\sum_{i=1}^n \int_0^{\tau_m} \psi(x_i, y_i, \tau) \cdot \frac{\partial T}{\partial \tau} B_k(T) \cdot d\tau \right). \end{aligned}$$

Группируя члены, содержащие одни и те же вариации, а затем приравнивая к 0 коэффициенты при них (то есть при вариациях $\Delta\lambda_{11}^{(k)}$, $\Delta\lambda_{22}^{(k)}$, $\Delta\lambda_{12}^{(k)}$, $\Delta C^{(k)}$,

$k = 1, 2, \dots, (m + 3)$), получим выражения для градиента функционала

, похожие по структуре на выражение градиента функционала в работах [1,2,4] для случая одномерной теплопроводности J :

$$\begin{aligned}
J'(\lambda_{11}^{(k)}) &= \sum_{i=1}^n \int_0^{\tau_m} \psi(x_i, y_i, \tau) \cdot \left(\frac{\partial^2 T}{\partial x^2} B_k(T) + \left(\frac{\partial T}{\partial x} \right)^2 \frac{dB_k(T)}{dT} \right) d\tau, \\
J'(\lambda_{22}^{(k)}) &= \sum_{i=1}^n \int_0^{\tau_m} \psi(x_i, y_i, \tau) \cdot \left(\frac{\partial^2 T}{\partial y^2} B_k(T) + \left(\frac{\partial T}{\partial y} \right)^2 \frac{dB_k(T)}{dT} \right) d\tau, \\
J'(\lambda_{12}^{(k)}) &= \sum_{i=1}^n \int_0^{\tau_m} \psi(x_i, y_i, \tau) \cdot \left(\frac{\partial^2 T}{\partial x \partial y} B_k(T) + \frac{\partial T}{\partial x} \frac{\partial T}{\partial y} \frac{dB_k(T)}{dT} \right) d\tau, \\
J'(C^{(k)}) &= \sum_{i=1}^n \int_0^{\tau_m} \psi(x_i, y_i, \tau) \frac{\partial T}{\partial \tau} B_k(T) d\tau
\end{aligned} \tag{9}$$

Оценочную формулу для определения оптимальной глубины (шага) спуска в направлении, определяемом методом сопряженных градиентов, можно получить, если воспользоваться известным подходом, основанным на линеаризации зависимости целевой функции от шага спуска в направлении антиградиента, и нахождении минимума этой линеаризованной зависимости [1,2]. Для реализации такого подхода необходимо решить задачу о приращении поля температур, но в несколько другой постановке чем та постановка, которая рассматривалась выше в обеспечение определения множителей Лагранжа и получения формулы для градиента целевой функции. В данном случае каждому параметру искомым функций даются возмущения, пропорциональные соответствующим компонентам градиента функционала. Обозначим этот коэффициент пропорциональности через ξ_0 . Тогда малые возмущения $\Delta \vec{\lambda}$, даваемые обобщенному вектору $\vec{\lambda}$ при решении задачи о приращении поля температур определяются следующим выражением:

$$\Delta \vec{\lambda} = \xi_0 J'(\vec{\lambda}) \tag{10}$$

Важным является вопрос о выборе коэффициента ξ_0 , обеспечивающего малость $\Delta \vec{\lambda}$. Пусть эта малость определяется числом δ , составляющим малую долю, например тысячную, от модуля вектора $\vec{\lambda}$. Тогда, учитывая соотношение (10), получим

$$\xi_0 = \frac{\delta \cdot |\vec{\lambda}|}{|J'(\vec{\lambda})|} \tag{11}$$

Чтобы получить оценочную формулу для ξ введем в рассмотрение скалярную функцию F аргумента ξ , характеризующую изменение величины целевого функционала $J(\vec{\lambda})$ в направлении антиградиента в точке $\vec{\lambda}$:

$$F(\xi) = J(\vec{\lambda} - \xi \cdot J'(\vec{\lambda}))$$

Будем считать ξ малой величиной, квадратом и высшими степенями которой можно пренебречь. Тогда используя разложение функции в ряд Тейлора по степеням $\xi \cdot J'(\bar{\lambda})$ и пренебрегая нелинейными членами в этом разложении, получим

$$F(\xi) \cong \sum_{i=1}^n \int_0^{\tau_m} (T(x_i, y_i, \tau, \bar{\lambda}) - \frac{\partial T(\bar{\lambda})}{\partial \bar{\lambda}} \cdot \xi \cdot J'(\bar{\lambda}) - f(x_i, y_i, \tau))^2 d\tau$$

Величины частных производных $\frac{\partial T(\bar{\lambda})}{\partial \bar{\lambda}}$ в выражении для функции $F(\xi)$ заменим их

конечно-разностными аналогами: $\frac{\partial T(\bar{\lambda})}{\partial \bar{\lambda}} \cong \frac{\theta(\bar{\lambda})}{\xi_0 \cdot J'(\bar{\lambda})}$.

Дифференцируя полученное выражение для $F(\xi)$ по ξ , приравнявая производную к 0 и разрешая уравнение $\frac{dF}{d\xi} = 0$ относительно ξ , получим следующее выражение для оценки

глубины спуска в направлении антиградиента целевого функционала:

$$\xi = \frac{\sum_{i=1}^n \int_0^{\tau_m} (T(x_i, y_i, \tau, \bar{\lambda}) - f(x_i, y_i, \tau)) \cdot \theta(x_i, y_i, \tau, \xi_0 \cdot J'(\bar{\lambda})) \cdot d\tau}{\sum_{i=1}^n \int_0^{\tau_m} (\theta(x_i, y_i, \tau, \xi_0 \cdot J'(\bar{\lambda}))^2 \cdot d\tau)} \cdot \xi_0, \quad (12)$$

где коэффициент ξ_0 определяется выражением (11).

Проверка эффективности разработанного алгоритма решения задачи определения теплофизических характеристик анизотропных материалов осуществлялась в различных вычислительных экспериментах. Суть их заключается в следующем. При заданных начальных и граничных условиях, а также при заданной величине локальных объемных тепловыделений и при заданных функциях $\lambda_{11}(T), \lambda_{22}(T), \lambda_{12}(T)$ и $C(T)$ решается прямая задача теплопроводности с целью определения температур в некоторых определенных точках образца материала. Результаты решения призваны имитировать результаты экспериментальных замеров температур в выбранных точках при условии идентичности начальных, граничных условий и условий внутреннего теплоподвода, если таковой имеется. Задавая в параметризованном виде начальные значения отмеченных функций, существенно отличающихся от тех, которые использовались для вычисления температур, имитирующих экспериментальные, в процессе решения обратной задачи в итерационном процессе уточняются параметры искомым функций, аппроксимируемых сплайн-функциями. Вычислительные эксперименты проводились для схемы образца, способа подвода энергии к нему и граничных условиях, заимствованных из работы [6]. Рассматривался образец в форме

параллелепипеда. На четырех его гранях задавались постоянная температура, равная начальной температуре во всех точках образца. Две противоположные грани образца теплоизолированы. Через их центральные точки проходит линейчатый электронагреватель (Рис. 1), к которому подводится изменяющаяся по времени мощность. Благодаря теплоизоляции торцов образца и отмеченному расположению источника внутренних тепловыделений в образце реализуется двумерное нестационарное температурное поле, поэтому точки, в которых имитируются измеряемые в эксперименте температуры, целесообразно выбирать в одной плоскости, параллельной теплоизолированным граням.

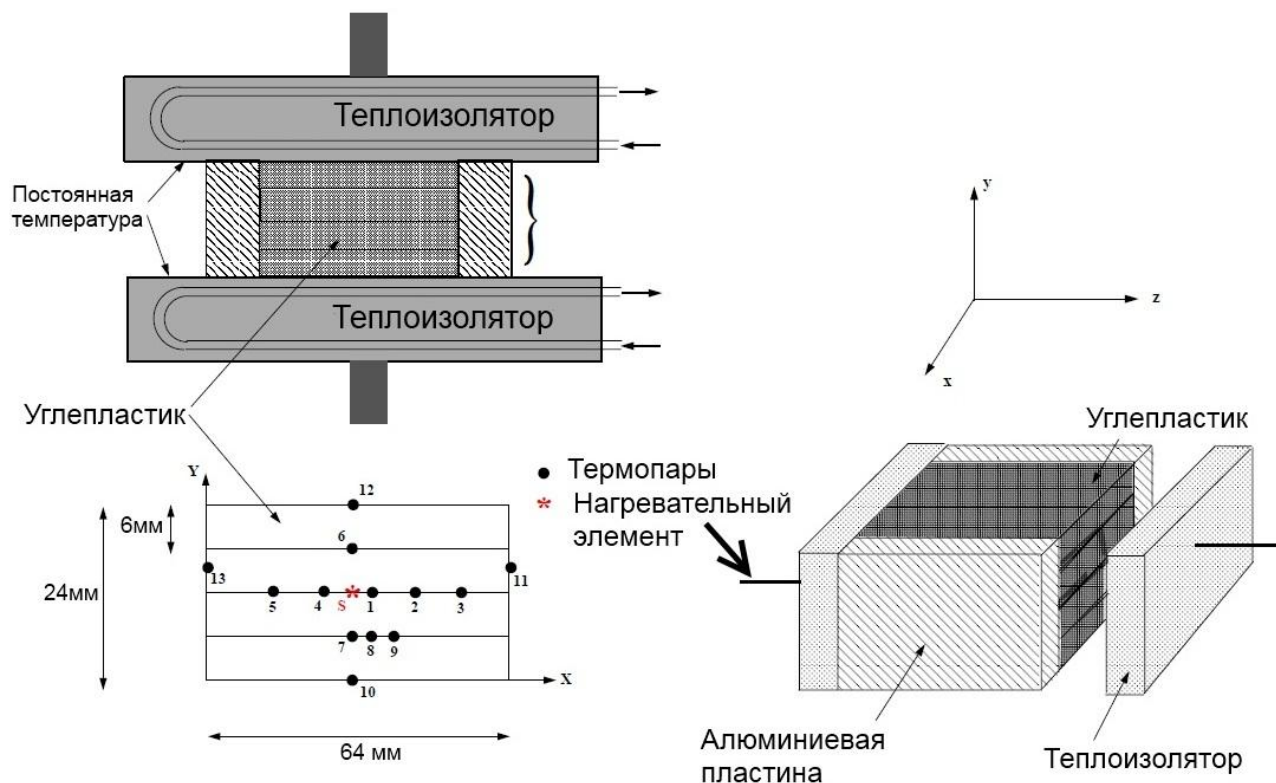


Рис.1. Схема образца, для которого проводились вычислительные эксперименты.

В одном из вычислительных экспериментов результаты обработки которого иллюстрируются ниже, в качестве восстанавливаемых функций были взяты представленные в отмеченной статье [6] экспериментальные данные по температурным зависимостям коэффициентов λ_{11} , λ_{22} и C в диапазоне температур от 10С до 110С для одного из углеродистых. Эти данные, представленные в статье в виде графиков хорошо описываются следующими линейными функциями:

$$\lambda_{11}(T) = 1.82 + 0.0038 \cdot (T - 283); \quad \lambda_{22}(T) = 0.435 + 0.00087 \cdot (T - 283); \quad \lambda_{12}(T) = 0.;$$

$$C(T) = 1.15 + 0.0071 \cdot (T - 283), \text{ где } [T] = K.$$

Как и в отмеченной работе предполагалось, что к линейчатому электронагревателю в течение 2000с подводится изменяющаяся по времени мощность, величина которой в течение

первых 800с растёт от 0 до $230 \frac{вт}{м}$, затем в течение 400с остается неизменной, а в последующие 800с уменьшается от $230 \frac{вт}{м}$ до 0. В вычислительном эксперименте имитировалось измерение температур в 7 точках исследуемого образца. Схема расположения точек в основном соответствовала схеме, представленной в статье. Предполагалось, что на ограничивающих поверхностях образца поддерживается неизменная по времени температура равная 283К. При реализации разработанного алгоритма решения задачи дифференциальные уравнения заменялись их конечно-разностными аналогами и решались методом итераций на пространственно-временной сетке размером $n_x \times n_y \times n_t = 32 \times 24 \times 1000$.

Область определения искомых функций разбивалась на два участка, поэтому число параметров у каждой искомой функции равнялось 5. Задавались различные начальные приближения параметров искомых функций. Точность решения и время решения (требуемое число итераций) зависят от исходных данных, но не кардинально. Представленные на графиках результаты были получены при следующих нулевых приближениях параметров восстанавливаемых функций:

$$\lambda_{11}^{(k)} = 2.5, \lambda_{22}^{(k)} = 0.7, \lambda_{12}^{(k)} = 0.2, C^{(k)} = 2.6E + 6, k = 1, 2..5.$$

Результаты решения обратной задачи в рамках вычислительного эксперимента иллюстрируются на графиках рисунков 2-3.

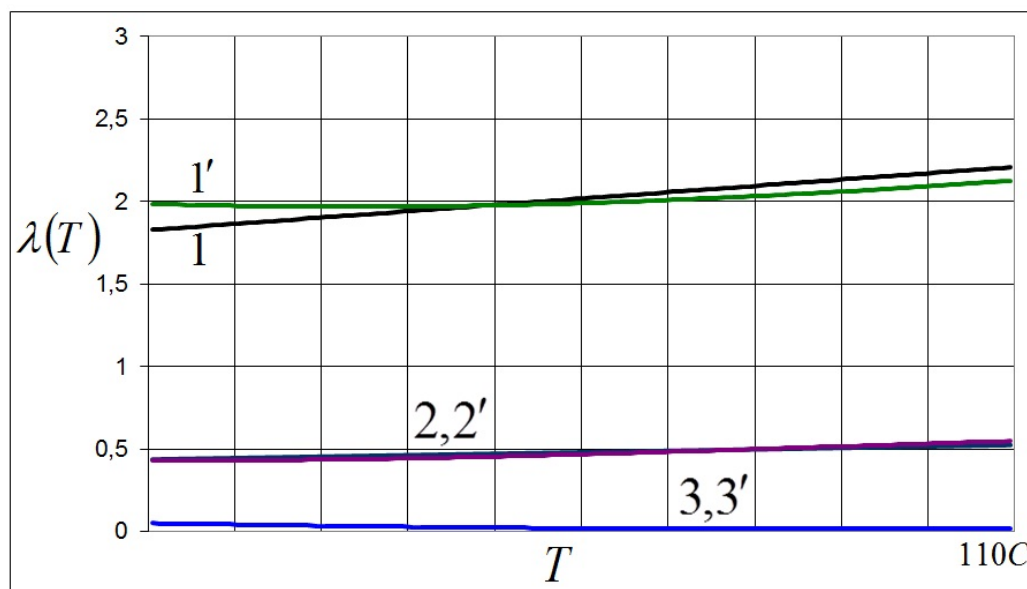


Рис.2. Зависимость от температуры T восстанавливаемых и восстановленных функций $\lambda_{11}(T), \lambda_{22}(T), \lambda_{12}(T)$ для углепластика.

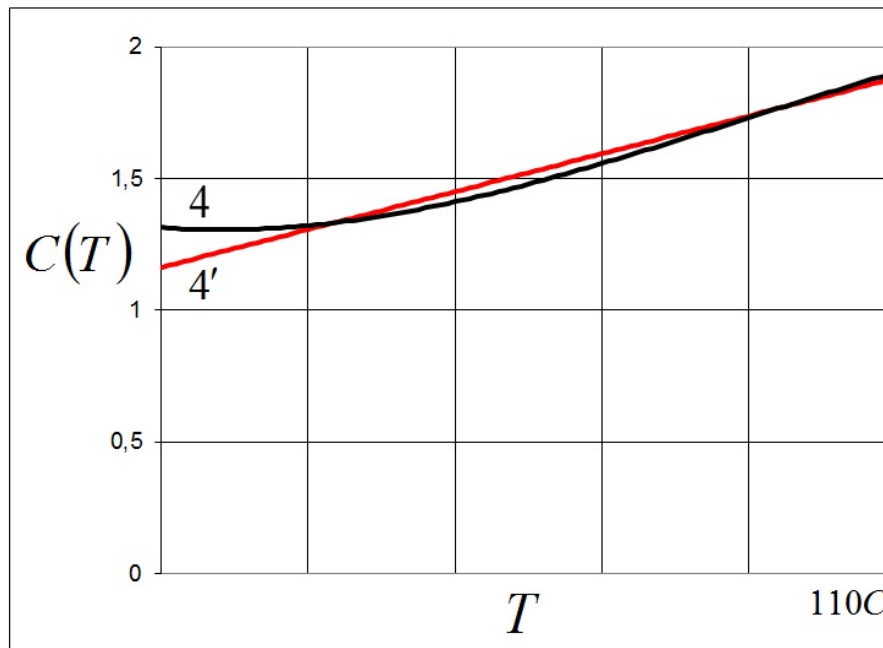


Рис.3. Зависимость от температуры T восстанавливаемой и восстановленной функций $C(T)$ для углепластика.

Кривые 1,2,3,4 на рисунках 2,3 – восстанавливаемые функции $\lambda_{11}(T), \lambda_{22}(T), \lambda_{12}(T), C(T)$ соответственно; $1', 2', 3', 4'$ – восстановленные функции.

$$[T]=C, \quad [\lambda_{11}, \lambda_{22}, \lambda_{12}] = \frac{вт}{мК}, \quad [C] = \frac{Мдж}{м^3К}.$$

Большой интерес представляют погрешности восстановления теплофизических характеристик рассматриваемого материала. Эти погрешности иллюстрируются на графиках рис.4.

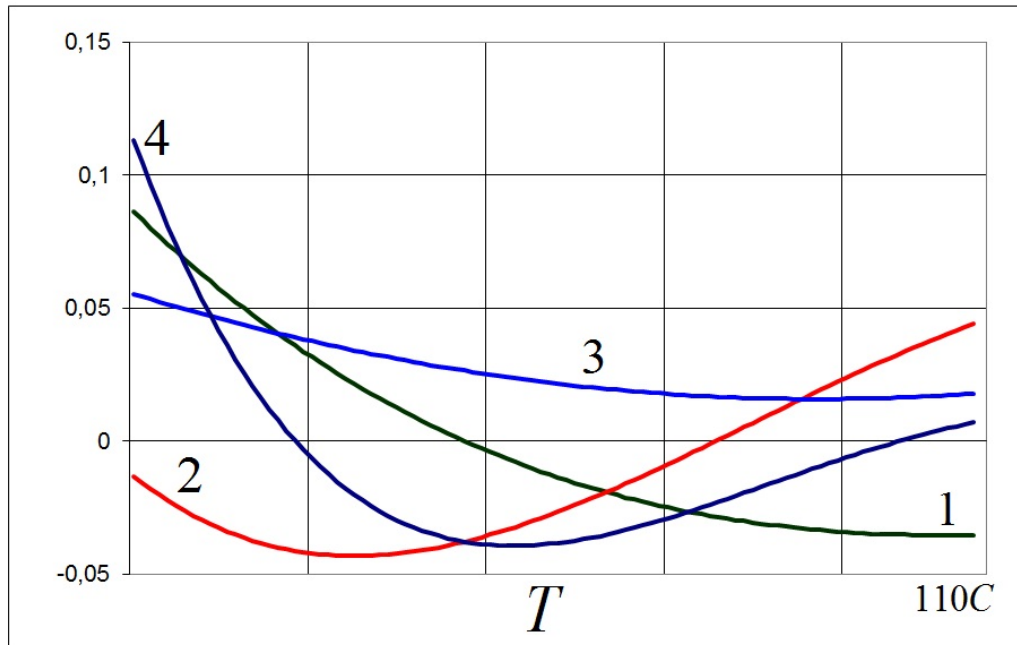


Рис.4. Относительные погрешности восстановления функций $\lambda_{11}(T), \lambda_{22}(T), C(T)$ (кривые соответственно 1,2,3) и абсолютные погрешности восстановления функции $\lambda_{12}(T)$ - кривая 4 ($\lambda_{12}(T) = 0$).

Определялись также погрешности восстановления температурного поля в рассматриваемом образце материала. Локальные погрешности не превышали по модулю $0.5K$, а среднеквадратичные погрешности, оцениваемые по семи локальным температурам, не превысили $0.16K$.

Полученные результаты дают основания для предположения о возможном достаточно эффективном использовании разработанного алгоритма для решения задач определения теплофизических характеристик различных материалов, в том числе и материалов с ярко выраженной анизотропией их теплопроводящих свойств и с сильной зависимостью этих свойств от температуры.

Библиографический список

1. *Алифанов О.М.* Обратные задачи теплообмена.- М.: Машиностроение, 1988.- 280с
2. *Алифанов О.М., Артюхин Е.А., Румянцев С.В.* Экстремальные методы решения некорректных задач.- М.: Наука. Гл. ред. физ.-мат. лит.,1988.-288с.
3. *Алифанов О.М., Михайлов В.В.* Решение нелинейной обратной задачи теплопроводности итерационным методом // ИФЖ, 1978, т. XXXV, N6, с. 1123-1128.
4. *Артюхин Е.А.* Восстановление температурной зависимости коэффициента теплопроводности из решения обратной задачи // ТВТ, 1981, т.19, N5, с. 963-967.
5. *Карслоу У., Егер Д.* Теплопроводность твердых тел. М. : Наука. 1964. 487 с.
6. *R. Abou Khachfe , J. L. Bailleul , Y. Jarny* "The simultaneous determination of thermal conductivity and heat capacity within an orthotropic medium by using conjugate gradient algorithm" // 16 th IMACS World Congress (2000 IMACS)

Сведения об авторах:

Алифанов Олег Михайлович , заведующий кафедрой Московского авиационного института (национального исследовательского университета), член-корреспондент РАН, д.т.н., профессор; e-mail: alf@cosmos.com.ru

Колесников Василий Анатольевич, младший научный сотрудник Московского авиационного института (национального исследовательского университета); e-mail: v.kolesnikov@mail.ru